

京都大学工学部 正員 辻本哲郎
京都大学工学部 正員 中川博次

まえがき Kennedyの論文¹⁾以来 不安定性解析の手法を用いて河床波の形成を説明する試みが走り、いくつかの興味ある研究成果が発表され、また現在なお興味を持たれています。しかし、砂面 $\psi(x)$ と砂面の時間的変化率 $\dot{\psi}(x,t)$ の間の位相差によく安定・不安定が決まるのであります（従来の研究にみられる流砂の連れ距離、流砂あるいは流速場の非対称性なども線型解析ではこの位相差に帰属される）、またこの位相差は様々な要因から成り立つおりそれを同一のエント（単なる和）で不安定性に寄与しているにもかかわらず各成分の取り扱いの精度が必ずしも適合していない。単に不安定性（河床波の発生）が説明できることをもつてはいけないといつたことよりもいかにそれまでの位相差を合理的かつ精度良く推定し、またそれをどう実験的にうまく検証するかが重要であり、これらを明確にこの議論が今種の問題の今後の進展の一歩であると考えられる。この方向を示したのが著者の先の論文²⁾であり、ときに連れ砂の連れ距離が位相差によって確定されている。さらに、線型不安定性解析による河床波の取り扱いの短所として（当然のことながら）次の2点が指摘される。(1)初期擾乱を仮定しなければならない、(2)線型理論による河床波発達の初期が扱えない。(1)について著者は砂粒の不規則な運動の頻繁さが必然的に河床面凹凸の不規則性を増加させこれが初期擾乱によることを指摘しモデル化している³⁾が、このモデルから導かれる河床擾乱のスペクトルはまだ少ないので通水後比較的初期に見られる規則的な河床波とは矛盾している。一方(2)について、はたして発達初期を従来の不安定性解析で理察記述を得るのだろうか（これまで不安定性解析の実験的検証はなされていない）。こうした問題に鑑み、これに応える方向がこれからも課題と見え、不規則性を考慮した不安定性解析手法にもとづく理論展開を示し、初期に平坦にならされた河床に注意深く通水したときの河床形状の時間的变化を短かい時間階層で測定した水路実験結果との両面からの検討を行った。

不規則性を考慮した砂面の不安定性解析 従来の砂面不安定性解析は一定長の初期擾乱を対象として行われたが、河床における砂粒のランダムな離脱・落下の繰り返しによる河床高の不規則性が初期擾乱であると考えると、Jain⁴⁾が試みているように砂面のFourier変換に対する不安定性解析を行って、不規則な擾乱から特別な波数域が陶太から卓越しそうる機構（「波数選択的增幅機構」と呼ぶ）を調べる意義深い。ところがJainの解析では連れ距離等の係数が適切でなく（これまで従来の不規則性解析に適用すると従来受容されている結果と相矛盾する）、ここでは著者が先に進行した連れ距離を合理的に決定できる方法⁵⁾を用いる。基礎式: $\frac{dY}{dt} = A_1 d \left\{ \int_0^\infty p_0(x-t) f_0(x-t) - p_0(x) \right\} \dots (1)$ ($p_0(x)$: pick-up rate, $f_0(x)$: step length の確率密度関数) を Fourier変換して次式を得る。 $\frac{dY}{dt} = A_1 d \hat{p}_0 F[k_0 \psi_c(k)] [F[f_0(x)] - 1] \dots (2)$, $\frac{\psi_c(x)}{c_0} = 1 + r_c \psi_c \dots (3)$, $\hat{p}_0 = \frac{\partial p_0}{\partial x} \Big|_{x=0} \dots (4)$, $Y = F[f_0(x)] \dots (5)$, ここで添字0は非擾乱時の値, $F[\cdot]$ はFourier変換を表す。また $p_0 \equiv p_0 / d / (k_0^2 - 1)^{1/2}$, $k_0 \equiv k_0^2 / (k_0^2 - 1)^{1/2}$ である。step length は平均値の指數分布とし、また直面せし断面力については $C(x) = \beta p_0 U^2 (1 - d^2 x^2) \dots (5)$ とする。このとき $F[f_0(x)] = (1 + i K x)^{-1} \dots (6)$, $\psi_c(k) = 2 \frac{U(x)}{U_0} - \alpha \frac{\partial \psi}{\partial x} \dots (7)$ であり、慣性流速 $U(x)$, 水深 $d(x)$ はボテンシャル流理論で与えられるものとする。これらを考慮すると式(2)は、 $\frac{dY}{dt} = -A_1 d \hat{p}_0 p_0 \{ 2 F_k K - \alpha (R_k - 1) i \} \{ k_0 (k_0^2 + i) / \{ 1 + (K x)^2 \} \} Y \dots (8)$ となる。ここで、 $F_k = \frac{1 - Fr^2 k_0 \tanh k_0}{\tanh k_0 - Fr^2 k_0} \dots (9)$, $R_k = \frac{Fr^2 k_0 \operatorname{sech} k_0}{Fr^2 k_0 - \tanh k_0} \dots (10)$ である。 $Y(k, t) \cdot Y^*(k, t) = S(k, t) \dots (11)$ ($S(k)$: 波数スペクトル, Y^* : Y の複素共役) であることを用いると結局次式が得られる (K : 角波数)。

$$S(k, t) = S(k, 0) \exp \{ 2 B_k F_k(k_0) t \} \dots (12)$$

ただし、 $B_k \equiv A_1 d \hat{p}_0 p_0 K / f_0^2 \dots (13)$

$$F_k(k_0) \equiv -[(K x)^2 / \{ 1 + (K x)^2 \}] \cdot \{ \alpha (R_k - 1) + 2 K x F_k \} \dots (14)$$

である。 $K = \gamma_1 k_0$, $\alpha = \gamma_2 / Fr^2$ とおき^{2), 3)}, 規則波に対する解析結果が

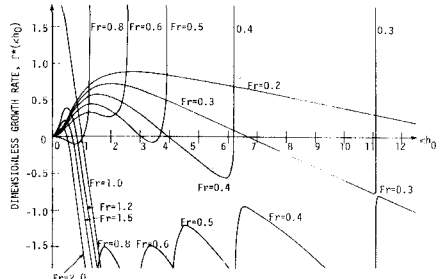


Fig. 1

従来受容されているものとほぼ合致するよう $\gamma_1=1.0$, $\gamma_2=1.2$ とした場合³⁾の無次元増幅率 $\bar{F}^*(k\hbar_0)$ の計算結果は図1に示される通りである。こうした波数移行機構によると、図2に概略的に示すように、初期擾乱としては広波数域に亘った緩やかなスペクトルが比較的狭い波数域に限られてゆくものと推定される(図2の(A)→(B)への変化)。

水路実験との比較 水路実験は長さ9m幅33cmの水路で中央粒径0.42mm(A砂), 0.5mm(B砂)の2種類の均一砂で行い、自走式超音波測深器を用いた。各時刻の河床断面形状記録から求められた波数スペクトル(M.E.M. = 5.3)は図3に示され(A)に30秒~10分、(B)に2分~90分の結果を示す)。河床高の分散($O_y^2 = \int_0^\infty S(k) dk$, k : 波数)が時間的に増大している(時間に比例)こと、初期発達過程においてはスペクトルに顕著なピークが存在すること、このピークが時間とともに低波数側へ移行する

シやがては目立たぬものとなることが認められる。またスペクトル形状は初期ではピークを除外すると $-1 \sim -2$ 乗程度の逆減性状を示すのが、平衡状態ではピークを吸収して「3乗則」に近づいていく。ところが初期擾乱生成モデル³⁾からわかるように、初期擾乱は(瞬間的ではなく)持続して与えられるので「波数選択性の増幅」過程が見えたため図4に示すようにスペクトルを規格化し($S^* \equiv S / O_y^2 \hbar_0$, $k^* \equiv k\hbar_0$)、その後各成分のスペクトル $\bar{S}^*(k^*) \equiv S^*(k^*) \Delta k^*$ の時間的変化を調べた。すなわち、 $\bar{S}^*(k^*)$ の時間的変化率の実測値が理論的に得られた

$F^*(k\hbar_0)$ とどの程度対応しているかをみたもので、図5の矢印が

式(4)で計算された理論的结果、折線がその時間的変化である。一方式(12)の分子(式9)のみを零とすとき増幅率は無限大となり、実測スペクトルのピークに対応波数の $t=0$ への外挿値は図6に示すように理論値と良く対応している。ただし図7に示されるようにこの波数は時間とともに低波数側へ移行している。これは波数間の干渉作用(追いつき統合など)に依るもので、ピークに対応波数のみならず広い波数域に亘っていると考えられ、河床波数スペクトルの発達としてはこうした波数の移行機構をも加味することが必要である(図2の(B)→(C))。今後はこうした方向での研究を進めよう予定である。

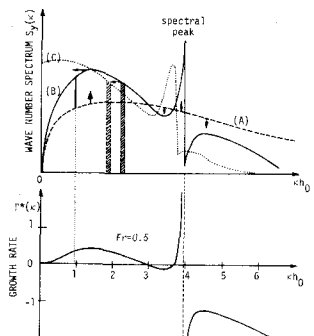


Fig. 2

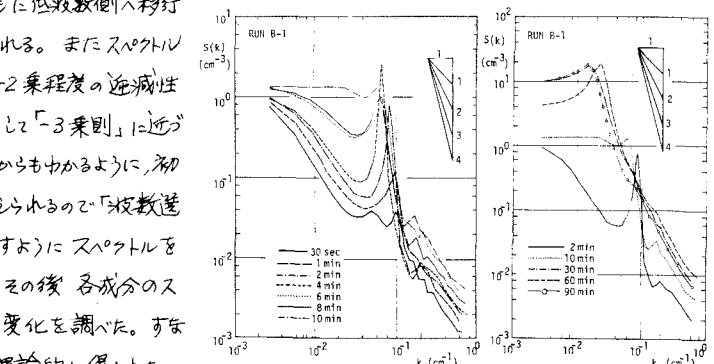


Fig. 3(a)

Fig. 3(b)

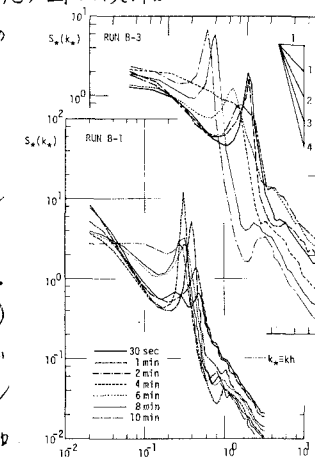


Fig. 4

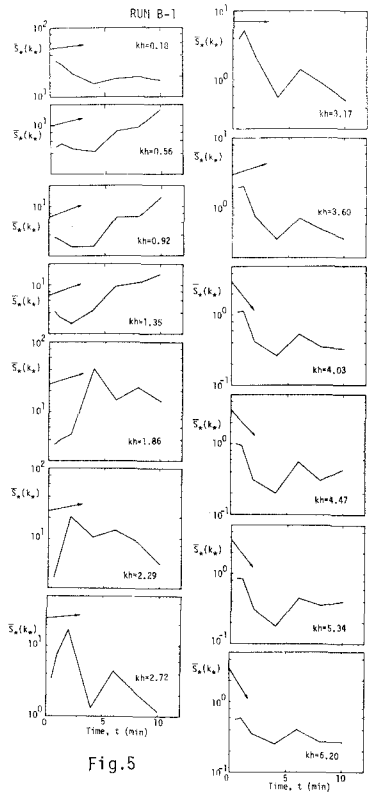


Fig. 5

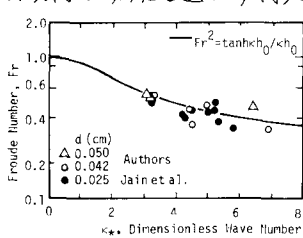


Fig. 6

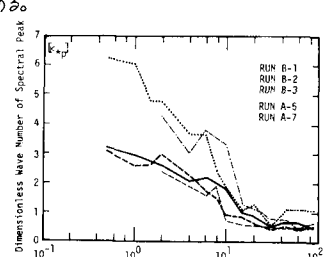


Fig. 7